

> D C E] U Z d d % o] l

d C E v • š] } v • E ^ d W , > ð i ~
 }] X } C E P l i i X ñ ó i ð i l š C E v ó v í • š % Z o X

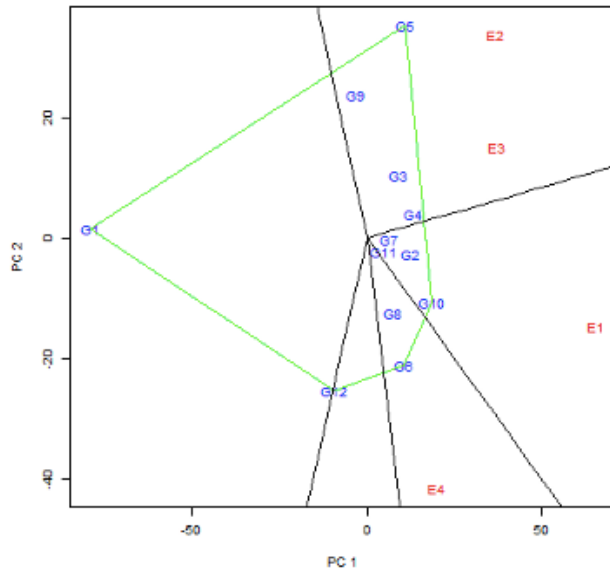


Figure 6. GGE biplot analysis showing mega-environments and their respective high-yielding genotypes.

> P v W

' í r E í î ' ñ r E ^ / Z í î ô ' ð r E ^ / Z í ô ð í r / P µ] P
 ' î r E ^ / Z í ñ î ' ò r E ^ / Z í î î ' ï r W Z ð i i i i î r W y o v
 ' ï r E ^ / Z í ò ì ' ó r E ^ / Z í î ô ' í r W Z ð i i î ò ï r ^ } o v
 ' ð r E ^ / Z í î ò ' ò r E ^ / Z í ð ì ' í r W ^ Z í i ð r d µ P µ P C E }

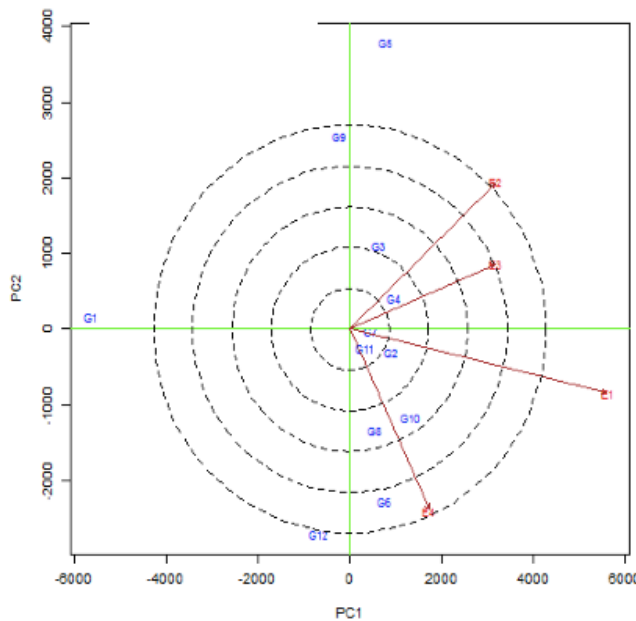


Figure 7. Environment vector view of GGE biplot showing the relationships among the test environments and their ability to discriminate genotypes based on yield performance.

> P v W

' í r E í î ' ñ r E ^ / Z í î ô ' ð r E ^ / Z í ô ð í r / P µ] P
 ' î r E ^ / Z í ñ î ' ò r E ^ / Z í î î ' ï r W Z ð i i i i î r W y o v
 ' ï r E ^ / Z í ò ì ' ó r E ^ / Z í î ô ' í r W Z ð i i î ò ï r ^ } o v
 ' ð r E ^ / Z í î ò ' ò r E ^ / Z í ð ì ' í r W ^ Z í i ð r d µ P µ P C E }

